

# بررسی سینتیک و ماهیت جذب مالاشیت گرین توسط ریزجلبک‌های سبز

نصرالله محبوبی صوفیانی<sup>۱</sup>

سالار درافشان<sup>۲</sup>

امیدوار فرهادیان<sup>۳</sup>

مسعود کوشان<sup>۴</sup>

(دریافت ۹۲/۵/۱۰) پذیرش ۹۲/۱۰/۱۷

## چکیده

در مطالعه حاضر، تأثیر چهار فاکتور اصلی غلظت اولیه مالاشیت گرین، pH اولیه محلول حاوی مالاشیت گرین، وزن زی توده جلبک‌ها و مدت زمان انجام آزمایش بر روی راندمان جذب مالاشیت گرین توسط ریزجلبک‌های سبز سندسموس و کلرلا با استفاده از روش باکس-بنکن مورد ارزیابی قرار گرفت. حداکثر راندمان جذب زیستی مالاشیت گرین توسط ریزجلبک‌های سبز سندسموس و کلرلا به ترتیب  $76.23 \pm 0.99$  و  $91.32 \pm 0.90$  درصد بود. در شرایط پهنه، مدل شبیدرجه دوم بهترین تناسب را با داده‌های آزمایش نسبت به سایر مدل‌ها نشان داد که چندین گروه عاملی، به خصوص گروه‌های کربوکسیل، هیدروکسیل و آمین در سطح زی توده‌های جلبکی، مسئول اتصال یون‌های مالاشیت گرین به سطح جلبک‌ها در فرایند جذب زیستی هستند. علاوه بر این، تفاوت راندمان‌های حذف مالاشیت گرین توسط زی توده‌های جلبکی، می‌تواند ناشی از تفاوت در برخورد بین مولکول‌های رنگی و زی توده‌های جلبکی باشد. این یافته‌ها نشان داد که زی توده‌های جلبکی می‌توانند به عنوان مواد زیستی مناسب برای جذب زیستی مالاشیت گرین از پساب استفاده شوند.

**واژه‌های کلیدی:** جذب زیستی، ریزجلبک سبز سندسموس، ریزجلبک سبز کلرلا، مدل‌های سینتیک، نورسنجد فروسرخ

## Investigation of the Kinetics and Nature of Malachite Green Biosorption by Green Microalgae

M. Kousha<sup>1</sup>

O. Farhadian<sup>2</sup>

S. Dorafshan<sup>3</sup>

N. Mahboobi Soofiani<sup>4</sup>

(Received Aug. 1, 2013 Accepted Jan. 7, 2014)

### Abstract

In the present study, the Box-Behnken design was used to investigate the effects of the four main parameters of initial Malachite green (MG) concentration, initial solution pH, algae content, and contact time on the efficiency of dye biosorption by the green microalgae *Scenedesmus quadricauda* and *Chlorella vulgaris*. The results showed that maximum dye removal efficiencies of *S. quadricauda* and *C. vulgaris* biomasses for the biosorption of MG were 76.23 and 91.32%, respectively. Under optimum conditions, the pseudo-second order fitted with the experimental data much better than other similar models ( $R^2 > 0.99$ ). The FT-IR spectroscopy method showed that several functional groups, especially carboxyl, hydroxyl, and amine groups, present on the surface of the *S. quadricauda* and *C. vulgaris* biomasses are responsible for binding of MG ions in the biosorption process. The differences observed in the MG biosorption efficiencies of algal biomasses may be attributed to differences in interactions between the dye molecules and the algal biomasses. Finally, the findings revealed that the algal biomasses used in this study are suitable as the biomaterial for MG biosorption from wastewaters.

**Keywords:** Biosorption, *Scenedesmus quadricauda*, *Chlorella vulgaris*, Kinetic Models, Fourier Transform Infra-Red.

- Grad. MSc Student, Dept. of Natural Resources, Isfahan University of Tech., Isfahan
- Assoc. Prof., Dept. of Natural Resources, Isfahan University of Tech., Isfahan (Corresponding Author), (+98 31) 33913564 omfarhad@cc.iut.ac.ir
- Assist. Prof., Dept. of Natural Resources, Isfahan University of Tech., Isfahan
- Prof., Dept. of Natural Resources, Isfahan University of Tech., Isfahan

- دانش آموخته کارشناسی ارشد، دانشکده منابع طبیعی، دانشگاه صنعتی اصفهان
- دانشیار، دانشکده منابع طبیعی، دانشگاه صنعتی اصفهان (نوابسته مسئول)  
omfarhad@cc.iut.ac.ir
- استادیار، دانشکده منابع طبیعی، دانشگاه صنعتی اصفهان
- استاد، دانشکده منابع طبیعی، دانشگاه صنعتی اصفهان

## ۱- مقدمه

مالاشیت گرین، تجهیزات گران قیمت و نیاز به سیستم نظارت، نیاز به انرژی و مصرف بالای مواد شیمیایی و تولید لجن سمی هستند [۹].

حذف آلاینده‌ها و ترکیبات مضر به روش‌های مختلفی انجام می‌شود که جذب زیستی یکی از آن روش‌ها است. جذب زیستی فرایندی فیزیکو‌شیمیایی است که به صورت طبیعی در یک زی توده<sup>۱۸</sup> یا مواد با منشاء زیستی از موجودات زنده اتفاق می‌افتد و اجازه می‌دهد تا آلاینده‌ها و ترکیبات مضر به صورت غیرفعال و بدون صرف انرژی با ساختارهای یونی موجود در سطح سلولی زی توده پیوند برقرار کنند [۱۰]. استفاده از فرایندهای زیستی در تصفیه پساب‌های آلوده و غنی از آلاینده، ضمن رفع مشکلات و تکمیل روش‌های فیزیکی و شیمیایی رایج، ابزار اقتصادی و کم‌هزینه‌ای را برای تصفیه پساب‌های آلوده فراهم می‌آورد. امروزه توجهی ویژه به استفاده از انواع مختلف زی توده‌های ارزان برای حذف آلاینده‌های معدنی و آلی از پساب‌ها پدید آمده است [۱۱] و [۱۲].

در سال‌های اخیر مطالعاتی بر روی میکروارگانیسم‌ها از جمله باکتری، قارچ و جلبک‌های میکروسکوپی و ماکروسکوپی انجام شده است؛ اما به جلبک‌ها به لحاظ پتانسیل بالای آنها در حفاظت محیط زیست بسیار توجه شده است [۱، ۶، ۱۳، ۱۴ و ۱۵]. جاذبهای جلبکی به خاطر ساختار سلولی دیواره سلولی، مکان‌های اتصال کربوکسیلی و هیدروکسیلی بیشتری دارند [۱۶]. جلبک‌ها ارگانیسم‌های فتوسترنز کننده‌ای هستند که تقریباً در تمام نقاط جهان و در انواع زیستگاه‌ها وجود دارند [۱۷]. آنها توانایی تجزیه و حذف ترکیبات شیمیایی مختلفی را دارند؛ اما میزان این توانایی وابسته به ساختار شیمیایی ترکیب و نوع گونه جلبکی است [۱۸ و ۱۹].

استفاده از جلبک‌ها به صورت زی توده خشک، برخلاف شکل فعال و زنده محدودیت‌های بسیاری ندارد. جلبک‌های فعال یا زنده، امکان رشد و ادامه حیات در دماهای بالاتر از ۲۴ درجه سلسیوس و pH کمتر از ۷ را ندارند. بنابراین کارایی جاذب در شرایط بهینه دما و pH به بیشترین مقدار می‌رسد. در پساب‌های متنوع با گستره دمایی متغیر، جلبک‌های زنده استفاده زیادی ندارند و کاربرد آنها به فرم زنده محدود می‌شود. همچنین، عدم نیاز به سیستم نگهداری و پرورش، لزوم استفاده از زی توده خشک را ضروری می‌نماید [۲۰] و [۲۱].

همان‌گونه که قبلًاً اشاره شد یکی از ترکیبات رنگی، مالاشیت گرین است که به منظور حذف آن از محیط‌های آبی می‌توان از زی توده جلبک‌ها استفاده نمود [۱۸، ۲۲ و ۲۳]. آزمایش‌های جذب

آسیب‌های ناشی از فعالیت‌های صنعتی و پیشرفت‌های تکنولوژیکی رو به افزایش است و همواره هزینه‌های هنگفتی برای جبران آن صرف می‌شود [۱]. امروزه رنگ‌ها کاربرد و نقش مختلفی در بسیاری از صنایع دارند [۲]. با این وجود، بسیاری از آنها برای انسان‌ها و سایر جانوران سرطان‌زا و جهش‌زا هستند [۳]. یکی از این مواد مالاشیت گرین<sup>۱</sup> است. این ماده یک ترکیب رنگی با ساختار شیمیایی تری فیل مтан است که به طور گستردۀ ای برای زدودن انگل‌های خارجی، قارچ‌ها و باکتری‌ها در صنعت تکشیر و پرورش ماهیان و سخت پوستان استفاده می‌شود. همچنین از آن در صنایع رنگی برای رنگ آمیزی موادی چون ابریشم، پشم، گلف، چرم و کاغذ استفاده می‌شود. مالاشیت گرین عفونت‌های ناشی از باکتری، قارچ، پروتوزوا<sup>۲</sup>، سیستود<sup>۳</sup>، نماتود<sup>۴</sup>، ترماتود<sup>۵</sup> و سخت پوستان<sup>۶</sup> را در آبزی پروری، به خوبی کنترل می‌کند؛ اما عوارضی سمی دارد و موجب بروز تومور در کبد پستانداران می‌شود [۴]. بنابراین مصرف بیش از حد مجاز مالاشیت گرین مشکلی اساسی است که باید بر طرف شود، زیرا آثار مخرب محیط زیستی دارد و سلامتی پستانداران و انسان‌ها را تهدید می‌کند [۵]. تاکنون چندین روش فیزیکو‌شیمیایی رایج، همچون تهشیین شیمیایی<sup>۷</sup>، عصاره‌گیری<sup>۸</sup>، حلال<sup>۹</sup>، رزین تبادل یونی<sup>۹</sup>، جداسازی غشایی<sup>۱۰</sup>، ازناسیون<sup>۱۱</sup>، فتواسیداسیون<sup>۱۲</sup>، انقاد الکتریکی<sup>۱۳</sup>، شناورسازی کف<sup>۱۴</sup>، اسمر معکوس<sup>۱۵</sup>، تعویض یونی<sup>۱۶</sup> و لخته‌سازی<sup>۱۷</sup> به منظور حذف مالاشیت گرین و سایر ترکیبات آلی زیانبار از پساب‌ها به کار رفته است [۶].

بر اساس ساختار مولکولی و کمپلکس آروماتیکی رنگ‌ها، به طور کلی رنگ‌ها به نور، فعالیت‌های بیولوژیکی، عوامل اکساینده و سایر شرایط محیط‌زیستی تجزیه‌ای مقاوم هستند [۷ و ۸]. از این رو سیستم‌های تصفیه بیولوژیکی مرسوم، در تصفیه پساب‌های شامل رنگ‌ها ناکارامد هستند. از طرف دیگر، این روش‌ها دارای معایبی چون حذف ناقص

<sup>1</sup> Malachite Green

<sup>2</sup> Protozoa

<sup>3</sup> Cestode

<sup>4</sup> Nematod

<sup>5</sup> Trematod

<sup>6</sup> Crustacea

<sup>7</sup> Chemical Precipitation

<sup>8</sup> Solvent Extraction

<sup>9</sup> Ion Exchange

<sup>10</sup> Membrane Isolation

<sup>11</sup> Ozonation

<sup>12</sup> Photooxidation

<sup>13</sup> Electrocoagulation

<sup>14</sup> Froth Flotation

<sup>15</sup> Reverse Osmosis

<sup>16</sup> Ion Exchange

<sup>17</sup> Flocculation

## ۲- مواد و روش‌ها

### ۱-۲- مواد شیمیایی مورد استفاده

تمام مواد شیمیایی استفاده شده در این آزمایش دارای درجه آزمایشگاهی بودند. استوک مالاشیت گرین با انحلال ۱۰۰ میلی‌گرم از ماده جامد کریستالی نمک اگزالت مالاشیت گرین محصول شرکت سرو<sup>۵</sup> در آمریکا، در یک لیتر آب مقطر تهیه شد. سایر محلول‌های مورد استفاده در این پژوهش با رقیق‌سازی استوک اولیه مالاشیت گرین، در گستره غلظت‌های مختلف ۰/۱ تا ۰/۰۳ میلی‌گرم در لیتر تهیه شد و بلا فاصله در آزمایش‌های جذب مالاشیت گرین استفاده شد. مقدار pH اولیه هر محلول مالاشیت گرین قبل از شروع آزمایش، با استفاده از محلول‌های مختلف رقیق شده ۱ مولار اسید سولفوریک و سود تغییر یافته و با pH متر ساخت شرکت متروهم<sup>۶</sup> سویس اندازه‌گیری و در مقادیر مورد نظر تنظیم شدند.

### ۲-۲- آماده‌سازی جاذب‌ها

پس از تهیه استوک اولیه مناسب برای کشت انبو جلبک‌های مورد مطالعه در آزمایشگاه شیلات دانشگاه صنعتی اصفهان، به منظور کشت انبو جلبک‌ها از ۱۰ ظرف ۴ لیتری حاوی آب استریل شده و محیط کشت استفاده شد که برای هر گونه جلبک دو دوره کشت صورت گرفت. برای کشت ریزجلبک‌های سندسموس و کلرلا در این پژوهش از محیط کشت BBM<sup>۷</sup> استفاده شد. شرایط پرورش جلبک‌ها، شامل آب شیرین فیلتر و اتوکلاو شده، دمای ۲۳±۱ درجه سلسیوس، دوره نوری ۱۲:۱۲ ساعت تاریکی: روشنایی، شدت نور ۶۰ میکرومول فوتون بر متر مربع در ثانیه، pH آغازین ۶/۹ و اکسیژن محلول بالای ۵ میلی‌گرم در لیتر بود.

در هر دوره کشت، پس از طی ۱۰ روز، در فاز رشد سریع، رشد جلبک‌ها به حداقل خود رسید. در هر دوره کشت، زی توده جلبک‌ها برای جداسازی از محلول، در تیوب‌های مخصوص ۵۰ میلی‌لیتری ریخته شد و توسط دستگاه سانتریفیوژ مدل ستوریون ساینتیفیک Ltd<sup>۸</sup> به مدت ۱۰ دقیقه با سرعت ۳۰۰۰ دور بر دقیقه سانتریفیوژ و متراکم شد. با ادامه این روند برای تمام ظرف‌های کشت، در ظرف‌های مجزای کوچک ۱۰۰ میلی‌لیتری مخلوط تغليظ شده از هر دو جلبک سندسموس و کلرلا به دست آمد. نمونه تغليظ شده جلبکی برای استفاده بعدی در یخچال در دمای ۴ درجه سلسیوس نگهداری شدند. برای تهیه زی توده خشک، محلول‌های تغليظ شده

زیستی مالاشیت گرین به وسیله فیتوفور<sup>۱</sup> در غلظت‌های مالاشیت گرین اولیه مختلف یعنی ۲۰ تا ۱۰۰ میلی‌گرم در لیتر، مقدار جلبک که این واکنش وابسته به pH است و رابطه سینتیکی، واکنش متناسب با رابطه شبه درجه دوم برای کل غلظت‌ها و میزان جذب ۱۱۷/۷ میلی‌گرم بر گرم است [۱۸]. حذف مالاشیت گرین با استفاده از مخلوط حاوی جلبک دریایی<sup>۲</sup> به میزان ۱/۰۰۳ گرم در ۳۵ میلی‌لیتر محلول و در غلظت‌های مختلف، از ۳۰ تا ۷۰ میلی‌گرم در لیتر، مشخص کرد که سرعت واکنش، متناسب با رابطه شبه درجه دوم است و شاید ماهیت جذب آن جذب سطحی بوده که به علت طبیعت همزمان واکنش جذب زیستی است [۲۲].

همچنین آزمایش‌ها، جذب زیستی را بر روی حذف مالاشیت گرین از محلول آبی توسط زی توده پسماند حاصل از جلبک سبز کارلا<sup>۳</sup> به مقادیر جلبکی ۰/۲۵، ۰/۵، ۰/۷۵ و ۱ گرم در لیتر، با غلظت اولیه ۲ تا ۲۰ میلی‌گرم در لیتر و pH‌های مختلف ۳، ۵، ۷، ۹ و ۱۱ نشان داد. که این واکنش در شرایطی با جلبک ۱ گرم در لیتر، غلظت اولیه مالاشیت گرین ۱۰ میلی‌گرم در لیتر و pH محدوده ۷ در طی مدت ۶۰ دقیقه به تعادل می‌رسد و رابطه سینتیکی آن شبه درجه دوم است و قدرت جذب بیشینه مالاشیت گرین در غلظت اولیه مالاشیت گرین ۲۰ میلی‌گرم در لیتر، مقدار ۱۸/۷ میلی‌گرم بر گرم است [۲۳].

هدف از این پژوهش، بررسی تأثیر چهار فاکتور اصلی غلظت اولیه مالاشیت گرین، pH اولیه محلول حاوی مالاشیت گرین، وزن زی توده جلبک‌ها و مدت زمان انجام آزمایش بر روی راندمان جذب مالاشیت گرین توسط ریزجلبک‌های سبز سندسموس و کلرلا ارزیابی شد. جلبک‌های سبز سندسموس و کلرلا به علت فراوانی در آب‌های ایران، رشد سریع، تحمل بالای شرایط سخت طبیعی و پرورشی و سطح زیاد بهازای واحد وزن برای جذب رنگ انتخاب شدند. این جلبک‌ها در آب‌های آلوده داخلی و پساب‌های شهری شاخص‌اند و به فراوانی یافت می‌شوند [۲۴]. گسترش و آسانی دستیابی به آنها، به کاربردشان در این خصوص و در موارد مشابه می‌افزاید. همچنین در ایران با توجه به رشد روزافزون مراکز صنعتی و کشاورزی مختلف و همچنین با توجه به داشتن منابع متنوع و غنی از جلبک‌ها در منابع آبی داخلی و دریایی، انجام چنین مطالعاتی ضروری به نظر می‌رسد.

<sup>5</sup> Serva

<sup>6</sup> Metrohm\744

<sup>7</sup> Bold Basal's Medium

<sup>8</sup> Centurion Scientific Ltd

<sup>1</sup> *Phitophora* sp.

<sup>2</sup> *Caulerpa racemosa cylindracea*

<sup>3</sup> *Chlorella vulgaris*

<sup>4</sup> *Scenedesmus quadricauda*

ساخت کشور انگلستان در طول موج جذب بیشینه ۶۱۸ نانومتر اندازه‌گیری شد. راندمان جذب مالاشیت گرین در محلول‌های آبی به وسیله زی توده جلبکی از رابطه ۱ به دست می‌آید [۲۵]

$$\frac{C_i - C_f}{C_i} \times 100 = \text{راندمان جذب} \quad (1)$$

که در این رابطه  $C_i$  و  $C_f$  به ترتیب غلظت‌های اولیه و نهایی مالاشیت گرین بر حسب میلی‌گرم در لیتر و راندمان جذب بر حسب درصد در محلول‌های آبی آزمایش هستند.

در این پژوهش، برای جذب مالاشیت گرین از محیط آبی، از زی توده مرده کلرلا و سندسموس استفاده شد که قبلاً در شرایط مناسب جداسازی و خشک شده بودند. همچنین، در هنگام آزمایش فقط از شاهدهای مختلف آب و جلبک، بدون مالاشیت گرین و آب و مالاشیت گرین بدون جلبک، برای کاهش خطای احتمالی آزمایش هنگام فرایند جذب مالاشیت گرین بر سطح زی توده کلرلا و سندسموس استفاده شد. تیمارهای شاهد نیز تقاضوت معنی داری را در غلظت مالاشیت گرین در قبل و بعد مدت آزمایش نشان نداد.

**۵-۱- مدل‌سازی سینتیکی جذب زیستی مالاشیت گرین**  
مدل‌های سینتیکی مختلفی برای بررسی مکانیسم کنترل فرایند جذب مالاشیت گرین بر سطح زی توده جلبک‌های سندسموس و کلرلا همچون جذب سطحی، واکنش شیمیایی و مکانیسم انتشار استفاده شد. برای تعیین بهترین سینتیک جذب مالاشیت گرین بر روی زی توده‌های جلبکی، سه مدل سینتیکی مختلف، شامل مدل شبه‌درجه اول، شبه‌درجه دوم و انتشار داخل ذره‌ای استفاده شد. فرم خطی رابطه مدل شبه‌درجه اول در رابطه ۱ نشان داده شده است [۲۶]

$$\ln(q_l - q_t) = \ln q_l - k_1 t \quad (2)$$

که در این رابطه  $q_l$  و  $q_t$  بر حسب میلی‌گرم به ترتیب جرم یون‌های مالاشیت گرین جذب شده بر روی جرم زی توده جلبکی در زمان تعادل و زمان  $t$  بر حسب دقیقه هستند،  $k_1$  ثابت سرعت رابطه بر حسب دقیقه است. همچنین داده‌های آزمایش زی توده جلبکی توسط رابطه مدل شبه‌درجه دوم سینتیکی همان‌گونه که در زیر آمده است، ارزیابی شد [۲۷]

$$\frac{t}{q_t} = \frac{1}{k_2 q_2^2} + \frac{t}{q_2} \quad (3)$$

در پتری دیش‌های استریل شده ریخته شد و آنها در دمای ۵۰ درجه سلسیوس به مدت ۴۸ ساعت قرار گرفتند. پس از آن، سلول‌های خشک شده جلبکی، کاملاً خرد شدند و به ذرات کاملاً یکساختی تبدیل شدند. سپس از زی توده‌های آماده شده برای انجام آزمایش‌های جذب زیستی مالاشیت گرین استفاده شد. زی توده به دست آمده از هر دو جلبک قبل از آغاز آزمایش‌ها با استفاده از محیط کشت جامد نوتریمنت آگار (NA) کشت داده شد تا از نبودن سایر ارگانیسم‌ها در آن اطمینان حاصل شود.

**۳-۲- طرح آماری رویه‌های پاسخ<sup>۱</sup> برای آزمایش‌های جذب زیستی**  
چهار متغیر اصلی غلظت اولیه مالاشیت گرین، ۲، ۶ و ۱۰ میلی‌گرم در لیتر، pH اولیه محلول حاوی مالاشیت گرین به میزان ۴/۵، ۳، ۶ وزن زی توده جلبک‌ها به میزان ۴۰، ۸۰ و ۱۲۰ میلی‌گرم در لیتر و مدت زمان انجام آزمایش ۱۰، ۵۰ و ۹۰ دقیقه، برای بررسی مقدار تأثیرگذاری بر راندمان جذب مالاشیت گرین توسط کلرلا و سندسموس انتخاب شدند. برای بررسی تأثیر همزمان متغیرهای محیطی بر روی راندمان جذب زیستی، مالاشیت گرین در سه سطح پایین، برابر با ۱- متوسط، برابر با صفر و بالا، برابر با ۱+ از طرح آماری رویه‌های پاسخ و به شیوه باکس-بنکن<sup>۲</sup> استفاده شد. در این طرح آماری، برای انجام آزمایش جذب زیستی، مالاشیت گرین با چهار متغیر اصلی در سه سطح معین شده، در مجموع ۲۹ آزمایش توسط نرم افزار آماری دیزاین اکسپرت<sup>۳</sup> پیشنهاد شد.

**۴-۱- نحوه انجام آزمایش‌های جذب زیستی**  
تمامی آزمایش‌های جذب زیستی در دمای  $26 \pm 2$  درجه سلسیوس بر روی شیکر مدل sk-330-pro، محصول شرکت دراگون آلمان<sup>۴</sup> با سرعت ۱۳۵ دور بر دقیقه انجام شد. واحدهای آزمایش، ارلن‌مایرهای ۱۰۰ میلی‌لیتری بودند. مطالعات جذب مالاشیت گرین با مقادیر مختلفی از زی توده‌های جلبکی یعنی ۲ و ۶ میلی‌گرم در ۵۰ میلی‌لیتر محلول شامل ۲، ۶ و ۱۰ میلی‌گرم در لیتر مالاشیت گرین در مقادیر pH اولیه محلول ۳، ۶ و ۴/۵ میلی‌گرم در زمان‌های آزمایش ۱۰، ۵۰ و ۹۰ دقیقه، با دو بار تکرار انجام شد. در پایان هر یک از زمان‌های از پیش تعیین شده، محلول‌های نهایی از میکروفیلترهای غشاوی ۰/۲ میکرون عبور کرده و میزان جذب محلول فیلترشده باقیمانده توسط دستگاه اسپکتروفوتومتر جنوی<sup>۵</sup>

<sup>1</sup> Response Surface Methodology

<sup>2</sup> Box-Behnken

<sup>3</sup> Design Expert\ 8.0.4, Stat-Ease, Inc., Minneapolis, USA

<sup>4</sup> Dragon LAB, Germany

<sup>5</sup> Jenwey\6400

مالاشیت گرین را تا نهایت ظرفیت خود جذب کرده بودند، تهیه شد. نمونه‌ها توسط آب مقطر چندین بار برای حذف اتصال‌های ضعیف بین مالاشیت گرین و گروه‌های عاملی در سطح جاذب زیستی جلبکی و همچنین ناخالصی‌های احتمالی دیگر شستشو شدند. سپس زی توده‌های کنترل و آزمایش شده در دمای ۵۰ درجه سلسیوس به مدت ۲۴ ساعت در آون خشک شد. نمونه‌های خشک شده با برミد پتاسیم مخلوط و نمونه‌ها در کف هاون برای تهیه قرص مخصوص پخش شدند. پیک‌های حاصل شده از برミد پتاسیم، به صورت اتوماتیک از پیک‌های اصلی مربوط به جاذب‌های جلبکی کنترل و آزمایش شده توسط دستگاه کم شدند. سپس تمام طیف‌های FT-IR به دست آمده از دستگاه برای بررسی چگونگی بر هم‌کنش واکنش جذب مالاشیت گرین و میزان نقش گروه‌های مختلف در سطح جاذب‌های جلبکی سندسموس و کلرلا در فرایند جذب زیستی مالاشیت گرین ترسیم شدند.

### ۳- نتایج و بحث

#### ۱-۱- تأیید صحت مدل

آنالیز چندجمله‌ای<sup>۳</sup> درجه دوم و مدل کوادراتیک<sup>۴</sup> به عنوان بهترین مدل برای یافتن رابطه بین متغیرهای اصلی و راندمان جذب مالاشیت گرین به کار گرفته شد. جدول آنالیز واریانس آنوا<sup>۵</sup> برای راندمان جذب مالاشیت گرین توسط ریز جلبک‌های سبز سندسموس و کلرلا، برای تأیید اعتبار مدل استفاده شد (جدول ۱).

<sup>3</sup> Polynomial Analysis

<sup>4</sup> Quadratic Model

<sup>5</sup> ANOVA

که در این رابطه

$k_1$  ثابت سرعت رابطه درجه دوم بر حسب گرم بر میلی‌گرم در دقیقه،  $k_2$  میلی‌گرم مالاشیت گرین جذب شده بر گرم زی توده جلبکی در زمان  $t$  بر حسب دقیقه و  $k_3$  میلی‌گرم مالاشیت گرین جذب شده بر گرم زی توده جلبکی، در زمان تعادل بر حسب دقیقه است.

معمولًاً مدل‌های سینتیکی مختلفی به طور پیوسته برای تجزیه و تحلیل عامل و یا عوامل کنترل کننده و محدود کننده سرعت واکنش جذب مواد مختلف بر روی سطح جاذب‌های زیستی استفاده می‌شوند. از این رو برای بررسی بیشتر و دقیق‌تر این موضوع از مدل دیگری موسوم به مدل انتشار داخل ذره‌ای استفاده شد [۲۸]

$$q = k_{id} t^{0.5} + c \quad (4)$$

که در این رابطه

$q$  میلی‌گرم مالاشیت گرین جذب شده بر هر گرم زی توده جلبکی در زمان  $t$  بر حسب دقیقه،  $c$  عرض از مبدأ رابطه و  $k_{id}$  ثابت سرعت انتشار داخل ذره‌ای بر حسب میلی‌گرم بر جذر زمان است.

۲- تجزیه و تحلیل طیف نورسنجی مادون قرمز<sup>۱</sup> تجزیه و تحلیل‌های FT-IR در گستره ۴۰۰۰ تا ۴۰۰ بر سانتی‌متر، توسط دستگاه اسپکترومتر مخصوص جاسکو<sup>۲</sup> ساخت کشور ژاپن، به دقت ارزیابی شد. به منظور انجام این آزمایش، واکنش جذب زیستی برای تهیه جاذب جلبکی برای آزمایش IR-FT مخصوص و گرفت. در پایان، دو جاذب جلبکی کنترل و دو جاذب جلبکی که

<sup>1</sup> Fourier Transform Infra Red (FT-IR)

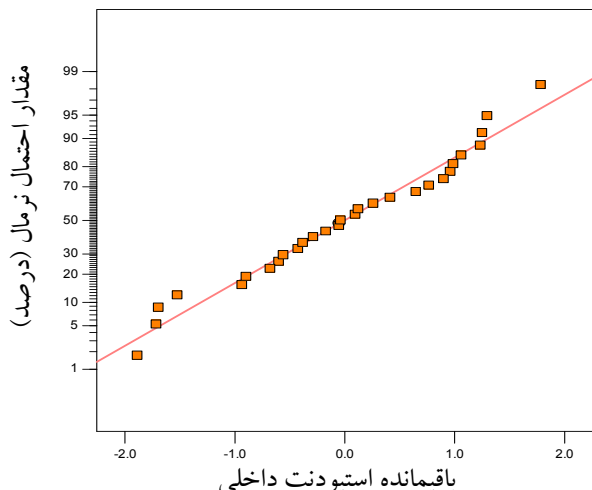
<sup>2</sup> Jasco 680

جدول ۱- تجزیه و تحلیل واریانس، برای جذب مالاشیت گرین توسط ریز جلبک‌های سبز سندسموس و کلرلا

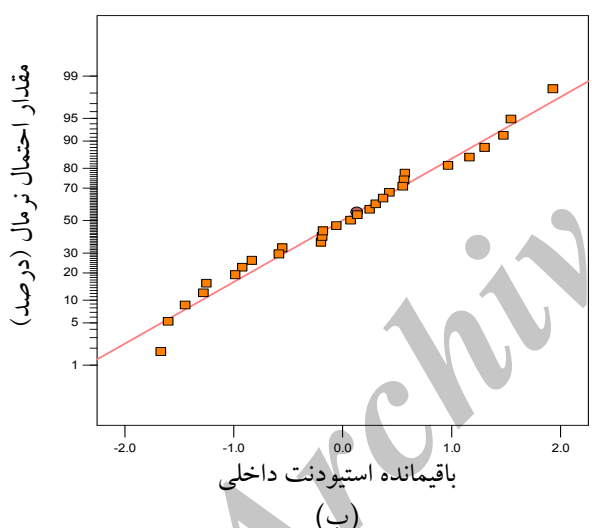
زی توده	منبع تغییرات	مجموع مربعات	درجه آزادی	میانگین مربعات	مقدار F	مقدار P
سندسموس	مدل آزمایش باقیمانده	۳۴۹۲/۵۱	۱۴	۲۴۹/۴۶	۱۲۱/۶۲	<۰/۰۰۰۱
	LoF*	۷۲/۲۸	۱۴	۲/۰۵		
	خطای خام کل	۹/۹۵	۱۰	۱/۸۸	۰/۷۵	۰/۶۷۴۴
	مدل آزمایش باقیمانده	۴۰۷۲/۸۰	۱۴	۲۹۰/۹۱	۱۵۵/۱۳	<۰/۰۰۰۱
	LoF*	۲۶/۲۵	۱۴	۱/۸۸		
	خطای خام کل	۵۴/۱۶	۱۰	۱/۶۵	۰/۶۸	۰/۷۱۷۱
کلرلا	مدل آزمایش باقیمانده	۷۱/۹	۴	۲/۴۳		
	LoF*	۴۰۹۹/۰۵	۲۸			

\* Lack-of-Fit

یک از این ضرایب مقدار کمیت و کیفیت تأثیرگذاری متغیرهای رابطه درجه دوم (اثرات خطی تکی، غیرخطی تکی و اثرات دو تایی) را بر راندمان جذب مالاشیت گرین توسط ریزجلبک‌های سبز سندسموس و کلرلا توصیف می‌کند.



(الف)



(ب)

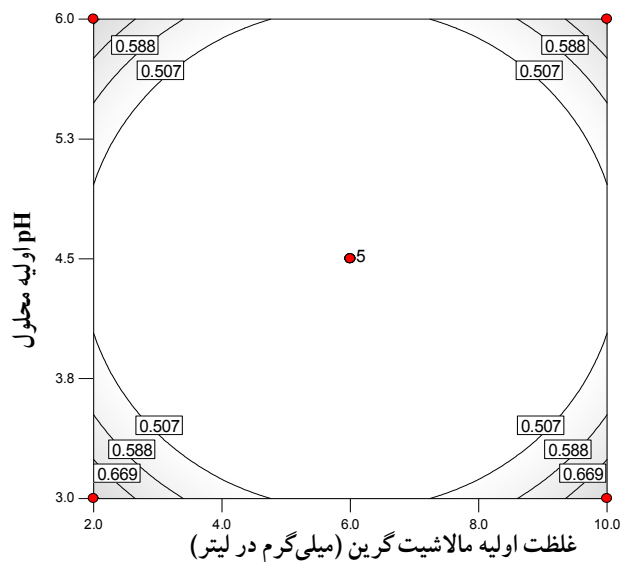
شکل ۲- مقدار احتمال نرمال بر حسب درصد، نسبت به باقیمانده استیودنست داخلی برای راندمان جذب مالاشیت گرین الف- توسط ریز جلبک سبز سندسموس و ب- ریز جلبک سبز کلرلا

۲-۳- بهینه‌سازی فرایند جذب زیستی مالاشیت گرین در بهینه‌سازی عددی، ابتدا باید اهداف مورد انتظار برای هر چهار متغیر فرایند و متغیر پاسخ یعنی راندمان جذب، تعیین شود. اهداف ممکن برای انتخاب از لیست مورد نظر شامل مقادیر کمینه یکی از سطوح آزمایش، بیشینه در گستره آزمایش، هیچکدام ( فقط برای تابع) و تعیین مقدار دلخواه خارج از سطح آزمایش ( فقط برای متغیرهای فرایند) هستند. همچنین به میزان اهمیت هر یک از

مقادیر F-value مدل‌ها برای آنالیز واریانس ریزجلبک‌های سبز سندسموس و کلرلا به ترتیب ۱۲۱/۶۲ و ۱۵۵/۱۳ به دست آمد که در سطح احتمال ۵ درصد از F-value جدول بزرگتر بود. از سوی دیگر مقادیر P-value مدل‌ها برای هردو زی توده جلبکی کوچک‌تر بود، از این رو بیانگر معنی‌داری مدل‌ها بودند. همچنین مقادیر P-value بزرگ‌تر از ۰/۰۵، برای هر دو ریزجلبک سبز برای منبع تغییر مهم LoF شاخصی برای هر آزمایش است. به عبارت دیگر پیش‌بینی مقادیر تخمینی برای هر آزمایش است. به این معنی LoF بی معنی بیان می‌کند که فاصله بین مقادیر واقعی و تخمینی ناچیز است. دقت بالای انجام آزمایش‌ها در شکل ۱ نشان داده شده است. مطابق شکل، خطای استاندارد طرح بین مقادیر حداقل ۰/۷۶۴ و حداً کثر ۰/۴۲۲ به دست آمد.

با قیمانده استیودنست داخلی، یعنی تفاصل بین مقادیر واقعی و پیش‌بینی شده برای راندمان حذف مالاشیت گرین، به منظور بررسی یکنواختی فرض واریانس، از راه ترسیم منحنی باقیمانده‌های استیودنست داخلی، نسبت به مقادیر احتمالی پیش‌بینی شده ارزیابی شدند. یکنواختی پخش شدن داده‌ها در اطراف خط (تفاصل برابر صفر) بیانگر تناسب خوب مدل با داده‌های آزمایش است (شکل ۲).

مقادیر F-value بزرگ‌تر و P-value کوچک‌تر، برای هر یک از ضرایب، دلالت بر معنی‌دارتر بودن است [۲۹]. از طرف دیگر هر



شکل ۱- خطای استاندارد طرح، برای اثر متقابل غلاف اولیه مالاشیت گرین و pH محلول اولیه (مقدار زی توده جلبک و زمان آزمایش در سطح صفر)

در این پژوهش غلظت اولیه مالاشیت گرین به دست آمده برای هر دو جلبک، یکسان بود. گمان می‌شود که تفاوت موجود در راندمان جذب، به لحاظ تفاوت‌های موجود در ساختار پلیمرهای زیستی خارج دیواره سلولی این دو جلبک سبز است که مکان‌های اتصال رنگی متفاوتی را ایجاد می‌نماید. از این رو قدرت کشش بیشتری در اثر نیروی جاذبه و توان حفظ بالاتر پیوند تشکیل شده را در شرایط مختلف در طول زمان آزمایش نشان دادند [۳۱].

با توجه به اینکه تمامی زی‌توده‌های جلبکی مقدار pH ایزوکلریک یعنی pH<sub>a</sub> که در آن بار سطحی جلبک صفر است، حدود ۳ تا ۴ دارند، بنابراین در pH کمتر از این مقدار به علت افزایش مقدار یون‌های مالاشیت گرین و ترکیب آن‌ها با سطح جاذب، بار سطحی جاذب مثبت می‌شود [۳۲]. با افزایش pH اولیه بیشتر از مقدار pH ایزوکلریک، به علت کاهش یون‌های H<sup>+</sup> و افزایش یون‌های OH<sup>-</sup> بار سطحی جاذب‌های جلبکی به سمت بارهای منفی تغییر می‌کند. در واقع افزایش pH اولیه محلول، بر میزان یونیزاسیون مالاشیت گرین تأثیر منفی می‌گذارد، به طوری که با افزایش pH اولیه محلول، از مقدار تفکیک یون‌های مثبت به علت انحلال کاسته شده که این امر خود تأثیر منفی بر راندمان جذب دارد [۳۴]. این ترتیب در pHهای ۴/۶، ۶/۹ و ۷/۴ و ۱۰/۱ به ترتیب دارای ۱۰۰، ۵۰، ۲۵ و صفر درصد از فرم یونی خود در محلول است. بنابراین با افزایش pH اولیه محلول بیشتر از ۶/۹ که در واقع pH<sub>a</sub> مالاشیت گرین است، با وجود افزایش بار منفی بر سطح جاذب، از میزان یونیزاسیون آن و به دنبال آن راندمان جذب مالاشیت گرین، کاسته می‌شود [۳۳].

افزایش زی‌توده جلبکی بیش از حد بهینه، سبب می‌شود تا مقدار زی‌توده بیشتر از حد قابل دسترس باشد و این ابانتگی موجب برخورد ذرات زی‌توده جلبک با همیگر، به جای برخورد با مولکول رنگ و جذب آن می‌شود که در واقع سبب اتلاف انرژی موجود در محلول، برای جذب رنگ می‌شود. از طرف دیگر مانع برای برقراری برخوردهای مؤثر بین مولکول‌های مالاشیت گرین و مکان‌های اتصال روی زی‌توده جلبکی می‌شود. این آشفتگی و بی‌نظمی در محلول مالاشیت گرین در مقادیر بیش از حد بهینه زی‌توده جلبکی، موجب افزایش طول مسیر انتشار و کاهش سطح

فاکتورها، از کم‌اهمیت تا مهم‌ترین، قابلیت وزن‌دهی دارد. در این مطالعه، به تمامی اهداف، وزن متوسط داده شد. سپس تمام اهداف در یک تابع مطلوبیت کل ادغام شدند. تابع مطلوبیت تابعی است که دامنه آن از مقدار صفر (خارج از محدوده) تا یک (هدف دلخواه) است. به عبارت دیگر پس از تخمین مقدار بهینه توسط این تابع، هرگاه مقدار تابع مطلوبیت کل (D) نزدیک‌تر به عدد یک باشد، پیش‌بینی دقیق‌تر و صحیح‌تر است. تابع مطلوبیت کل عبارت است از متوسط هندسی وزن‌دهی شده از تمام توابع انفرادی (d<sub>f</sub>) و بر اساس رابطه ۵ به دست می‌آید [۳۰]:

$$D = \sqrt[n]{d_1(y_1) \times d_2(y_2) \times \dots \times d_3(y_3)} \quad (5)$$

که در این رابطه

m تعداد توابع مطلوبیت انفرادی در فرایند بهینه‌سازی است.

بر این اساس، از یک شیوه تابع چندگانه (D) برای بهینه‌سازی هر یک از پنج هدف استفاده شد. این پنج هدف شامل غلظت اولیه مالاشیت گرین، مقدار pH اولیه محلول، زی‌توده جلبکی، زمان انجام آزمایش و راندمان جذب مالاشیت گرین بودند. بنابراین اهداف مورد نظر برای آنها، شامل مقدار کمینه برای غلظت اولیه مالاشیت گرین، مقدار متوسط برای زی‌توده جلبک‌ها و هدف در کل گستره آزمایش، ۳ تا ۶ دقیقه به ترتیب برای مقدار pH اولیه محلول و زمان انجام آزمایش و مقدار بیشینه برای راندمان جذب مالاشیت گرین در نظر گرفته شد.

بیشینه راندمان جذب مالاشیت گرین توسط ریزجلبک سبز سندسموس و کلرلا در شرایطی به دست آمد که مقدار pH اولیه محلول ۶، زمان تماش جاذب -آلاینده ۸۳ دقیقه برای ریزجلبک سبز کلرلا سبز سندسموس و زمان ۹۰ دقیقه برای ریزجلبک سبز کلرلا به دست آمد. مقدار زی‌توده جلبکی ۸۰ میلی‌گرم در لیتر و غلظت اولیه محلول ۲ میلی‌گرم در لیتر بودند. در این شرایط بهینه، راندمان جذب مالاشیت گرین به ترتیب ۷۶/۲۳ و ۹۱/۲۲ درصد برای زی‌توده‌های جلبکی سندسموس و کلرلا پیش‌بینی شدند (جدول ۲). مقادیر تابع مطلوبیت کل نزدیک عدد یک، بیانگر این است که مقدار پیش‌بینی شده برای ریزجلبک سبز سندسموس و کلرلا بسیار نزدیک به هدف مورد نظر را، تخمین زده است.

جدول ۲- بهترین سطوح متغیرهای فرایند و بیشینه راندمان جذب مالاشیت گرین توسط ریزجلبک‌های سبز سندسموس و کلرلا

زی‌توده (میلی‌گرم در لیتر)	غلظت اولیه pH محلول (میلی‌گرم در لیتر)	زی‌توده جلبک (میلی‌گرم در لیتر)	زمان آزمایش (دقیقه)	راندمان جذب (درصد)	تابع مطلوبیت
۶/۰۰	۲/۰۰	۸۳/۶۸	۸۳/۰۰	۷۶/۲۳	۱/۰۰۰
۶/۰۰	۲/۰۰	۸۰/۰۰	۹۰/۰۰	۹۱/۳۲	۱/۰۰۰

است. همچنین طبق این مدل، ثابت‌های  $k_2$  و  $q_2$  محاسبه شدند که به ترتیب  $3/000$  گرم بر میلی‌گرم در دقیقه و  $82/58$  میلی‌گرم بر گرم برای سندسموس و  $1/000$  گرم بر میلی‌گرم در دقیقه و  $92/76$  میلی‌گرم بر گرم برای کلرلا بودند.

مدل مورد استفاده برای تجزیه و تحلیل داده‌ها، مدل انتشار داخل ذره‌ای بود که داده‌های آزمایش با مدل سینتیک انتشار داخل ذره‌ای، همبستگی نداشت. مقادیر همبستگی پایین  $0/66$  برای ریزجلبک سبز سندسموس و  $0/75$  برای ریزجلبک سبز کلرلا به دست آمد. مقادیر پایین ضریب تعیین بیانگر وجود تفاوت معنی‌دار بین داده‌های آزمایش و پیش‌بینی شده است. ثابت‌های  $k_{id}$  و  $5$  برای ریزجلبک سبز سندسموس به ترتیب  $0/5$  گرم بر میلی‌گرم جذر دقیقه و  $37/17$  و برای ریزجلبک سبز کلرلا به ترتیب  $0/57$  گرم بر میلی‌گرم در جذر دقیقه و  $82/14$  بود.

نتایج به دست آمده در این پژوهش مطابق با جذب مالاشیت گرین توسط جلبک آب شور<sup>۱</sup> در پژوهش بکی و همکاران است [۲۲]. آنها نشان دادند که با افزایش زمان در آغاز واکنش جذب، به سرعت راندمان جذب افزایش می‌یابد به‌طوری که تقریباً مقدار عده مالاشیت گرین در  $120$  دقیقه اول از شروع آزمایش، بر روی جلبک جذب شد و پس از آن با گذشت زمان تا  $400$  دقیق، بقیه جذب ادامه یافت، تا به مقدار حداکثر جذب مالاشیت گرین در زمان تعادل جذب توسط زی توده جلبکی دست یابد [۲۲]. همچنین در پژوهشی بر روی جذب مالاشیت گرین از محلول آبی با استفاده از جلبک سبز فیتوفورا، مشخص شد که قسمت عده جذب در  $60$  دقیقه اول به مقدار  $75$  تا  $85$  درصد رخ می‌دهد و در زمان باقیمانده تا انتهای زمان جذب، بقیه مقادیر مالاشیت گرین در مدت  $1$  تا  $2$  ساعت تا رسیدن به زمان تعادل  $2$  تا  $3$  ساعت جذب شد [۱۸]. مدل سازی سینتیک داده‌ها با آنچه که به دست آمده بود به روشنی نشان داد که سینتیک واکنش از مدل شبه‌درجه دوم

<sup>۱</sup> *Caulerpa racemosa*

مؤثر جاذب برای جذب مولکول‌های مالاشیت گرین می‌شود و مولکول‌های مالاشیت گرین سخت‌تر و کمتر به سطح زی توده انتقال یافته و متصل می‌شوند [۱۹ و ۲۵].

۳-۳- مدل‌سازی سینتیک جذب زیستی مالاشیت گرین برای بررسی سینتیک جذب زیستی مالاشیت گرین توسط ریزجلبک سبز سندسموس و کلرلا، سه مدل سینتیکی شامل مدل‌های شبه‌درجه اول، شبه‌درجه دوم و انتشار داخل ذره‌ای برای بررسی تبعیت داده‌ها از این مدل‌ها به کار گرفته شد. میزان نقش و کاربرد هر یک از مدل‌ها برای داده‌های آزمایش به دست آمده با توجه به ضریب تعیین هر یک از مدل‌های سینتیکی به کار رفته تعیین می‌شود (جدول ۳).

در مدل شبه‌درجه اول، پس از ترسیم منحنی آن مشاهده شد که میزان همبستگی بین داده‌های آزمایش شده و پیش‌بینی شده توسط این مدل  $0/95$  برای سندسموس و  $0/86$  برای کلرلا به دست آمد. این مقادیر همان‌گونه که در جدول ۳ آمده است، همبستگی ضعیفی را بین داده‌های به دست آمده از آزمایش و پیش‌بینی شده توسط مدل نشان می‌دهد. مقادیر  $k_1$  و  $q_1$  به دست آمده از این مدل،  $0/115$  بر دقیقه و  $21/39$  میلی‌گرم بر گرم برای ریزجلبک سبز سندسموس و  $0/072$  بر دقیقه و  $85/32$  میلی‌گرم بر گرم برای ریزجلبک سبز کلرلا بودند.

مقادیر همبستگی به دست آمده برای داده‌های آزمایش شده در شرایط بهینه از سطوح متغیرهای اصلی فرایند جذب، در مدل شبه‌درجه دوم برای هر دو ریزجلبک مقدار  $0/99$  به دست آمد. بر این اساس، می‌توان بیان کرد که به‌طور غالب مکانیسم جذب زیستی مالاشیت گرین بر سطح زی توده هر دو ریزجلبک سبز، از مدل شبه‌درجه دوم سینتیک تبعیت می‌کند. این تناسب بالا بین داده‌های آزمایش و داده‌های پیش‌بینی شده توسط مدل در شکل ۳ به خوبی نشان داده شده است. علاوه بر این، تناسب نداشتن داده‌های به دست آمده از آزمایش با مدل شبه‌درجه اول نیز به روشنی قابل مشاهده

جدول ۳- پارامترهای سینتیکی به دست آمده از مدل‌های شبه‌درجه اول، شبه‌درجه دوم و انتشار داخل ذره‌ای برای جذب مالاشیت گرین توسط ریزجلبک‌های سبز سندسموس و کلرلا

مدل انتشار داخل ذره‌ای			مدل شبه‌درجه دوم			مدل شبه‌درجه اول			زی توده
R <sup>2</sup>	C	k <sub>id</sub>	R <sup>2</sup>	q <sub>2</sub>	k <sub>2</sub> × 10 <sup>2</sup>	R <sup>2</sup>	q <sub>1</sub>	k <sub>1</sub> × 10 <sup>1</sup>	
$0/66$	$17/7$	$5/05$	$0/99$	$82/58$	$34/0$	$0/95$	$21/39$	$15/1$	سندسموس
$0/75$	$82/14$	$57/6$	$0/99$	$92/76$	$14/0$	$0/86$	$85/32$	$72/0$	کلرلا

<sup>۱</sup> ثابت مدل شبه‌درجه اول بر حسب بردقیقه، <sup>۲</sup> ظرفیت جذب طبق مدل شبه‌درجه دوم بر حسب گرم بر میلی‌گرم در دقیقه، <sup>۳</sup> ظرفیت جذب طبق مدل شبه‌درجه دوم بر حسب میلی‌گرم بر گرم و <sup>۴</sup> ثابت مدل انتشار داخل ذره‌ای بر حسب گرم بر میلی‌گرم در جذر دقیقه است.

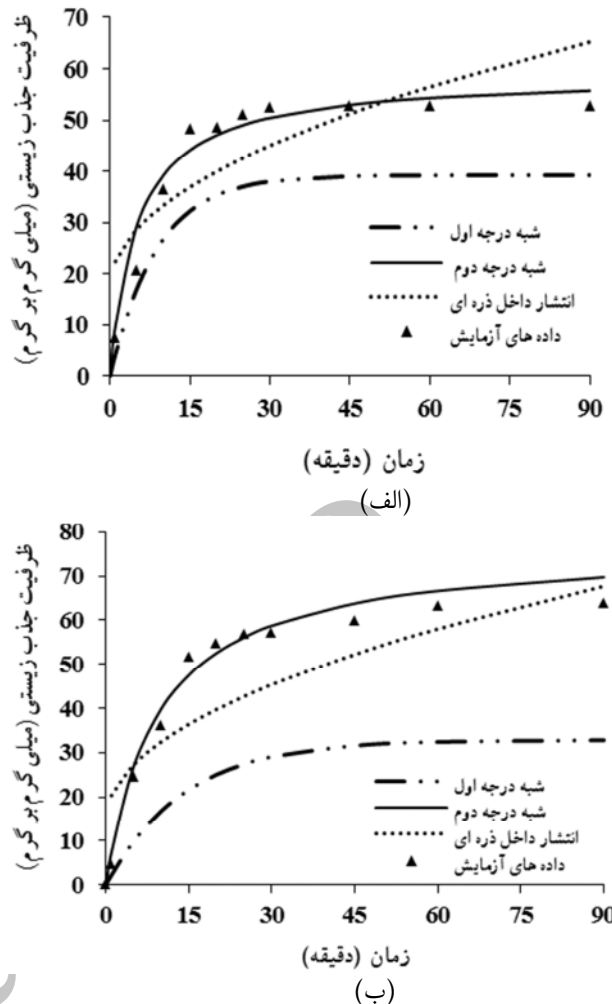
یون‌های موجود در سطح جاذب با یون‌های مالاشیت گرین صورت می‌گیرد [۲۳].

مکانیسم جذب مالاشیت گرین پیچیده‌تر از یک جذب تک لایه‌ای بر سطح زی توده جلبک است. بطوطری که مولکول‌های رنگی مالاشیت گرین پس از اینکه تمامی مکان‌های سطحی را اشغال کردند، برای اتصال به جایگاه‌های درونی تر به داخل جاذب نفوذ می‌کنند. در نتیجه اثرات متقابل بین آنها با جایگاه درونی تر و پنهانی، سرانجام متصل می‌شوند؛ اما در این مرحله، انتشار مولکول‌های مالاشیت گرین به داخل زی توده جلبکی برای اتصال با مکان‌های اتصال پنهانی، بسیار کنترل و سخت‌تر از انتشاری است که در مرحله اول جذب با سرعت بالا بین مولکول‌های مالاشیت گرین و سطح خارجی بیومس متصل می‌شود. مولکول‌های رنگی مالاشیت گرین برای نفوذ به درون زی توده برای اتصال با مکان‌های پوند پنهانی، باید از یک طرف بر نیروی دافعه مولکول‌های رنگی جذب شده بر سطح جلبک غلبه کرده و از سوی دیگر بر ممانعت‌های فضایی پیدید آمده برای حرکت مولکول مالاشیت گرین برای نفوذ و اتصال به درون ساختار جاذب چیره شوند، بنابراین یک شکست در منحنی سرعت واکنش جذب رخ می‌دهد که بیانگر ورود فرایند جذب به مرحله کند دوم و واکنش جذب مالاشیت گرین است [۱، ۳۴ و ۳۵]. این فرایند نسبت به مرحله اول بیشتر زمان بر است و تا رسیدن به زمان تعادل، یعنی ۹۰ دقیقه، ادامه می‌یابد.

#### ۴-۳- تجزیه و تحلیل طیف FT-IR

روش اسپکتروسکوپی FT-IR برای یافتن اطلاعاتی درباره برهمکنش‌های ممکن رخداده بین گروه‌های عاملی، در سطح زی توده جلبک‌های سبز سندسموس و کلرلا و بخش‌های باردار و فعل روحی یون‌های مالاشیت گرین استفاده شد. گستره FT-IR به دست آمده از قبیل و بعد فرایند جذب زیستی در شرایط بهینه از سطوح متغیرهای اصلی در شکل ۴ ارائه شده است.

یک نوسان وسیع و عمیق در گستره ۳۰۰۰ تا ۳۶۰۰ بر سانتی‌متر از طیف FT-IR در ریزجلبک سبز سندسموس و کلرلا مشاهده شد که نشان دهنده حضور گستره گروه‌های عاملی هیدروکسیل و آمین در ساختار زی توده‌های جلبکی است. همچنین پیک‌های مشاهده شده در گستره ۲۸۴۰ تا ۲۹۹۰ بر سانتی‌متر، نشانه وجود پیوندهای متقارن و نامتقارن C-H در گروه‌های آلیاتیکی در سطح جاذب‌های جلبکی است. پیک‌های قوی مشاهده شده در ۱۶۳۲ و ۱۶۳۸ بر سانتی‌متر نشانگر فراوانی گروه عاملی کربوکسیل در ساختار دیواره زی توده‌های جلبکی مورد مطالعه است. پیک‌های مشخص شده در ۱۴۵۳ و ۱۴۵۸ بر سانتی‌متر مربوط به پیوندهای N-H بوده و پیک‌های ۱۳۸۴، ۱۳۲۰، ۱۳۱۸ و



شکل ۳- سینتیک جذب زیستی مالاشیت گرین الف- توسط ریز جلبک سبز سندسموس و ب- ریز جلبک سبز کلرلا

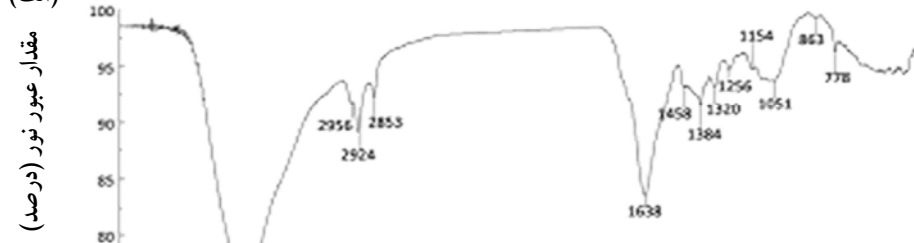
تبعیت می‌کند که با نتایج به دست آمده در مطالعه حاضر مطابقت دارد. پیروی جاذب‌های زیستی از مدل شبه‌درجه دوم در قریب به اکثر موارد برای زی توده استفاده شده صدق می‌کند که به علت رفتار دو مرحله‌ای مولکول‌های مختلف برای جذب شدن بر سطح زی توده‌های زیستی است.

به عبارت دیگر، فرایند جذب مالاشیت گرین بر سطح جاذب‌های زیستی، معمولاً از دو فاز متفاوت تند و کند، قبل از رسیدن به تعادل پیروی می‌کند. به این صورت که در آغاز فرایند جذب مالاشیت گرین، در طی ۳۰ دقیقه اول فرایند، جذب با سرعت بسیار زیادی رخ می‌دهد. بر اساس مدل، می‌توان پیشنهاد نمود که مرحله اول جذب، بسیار سریع است. فرایند توسط یک مکانیسم شیمیایی کنترل می‌شود. به عبارت دیگر از آغاز آزمایش تا زمانی که یک لایه خارجی از تمام مکان‌های اتصال فعل، در سطح جاذب اشغال شوند، فرایند جذب به صورت تبادل یونی بین

هستند. همچنین این باندهای ضعیف، بیانگر ساختار لیگنینی در دیواره زی توده جلبک‌های سبز سندسموس و کلرلا هستند که در شکل ۴ - الف و ب مشخص است [۳۶ و ۳۷].

بر سانتی‌متر متعلق به پیوندهای  $\text{O}=\text{N}$  موجود در سطح جاذب هستند. باندهای مشاهده شده در ۱۰۱۵ تا ۱۲۷۳ بر سانتی‌متر نشان‌دهنده حضور پیوندهای  $\text{C}-\text{O}$  الکلی و کربوکسیلیک اسیدی

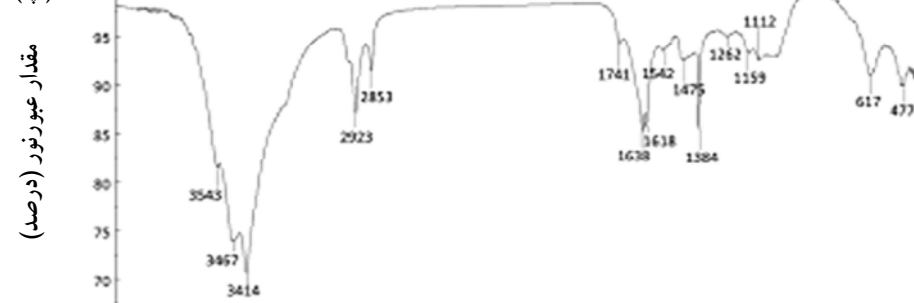
(الف)



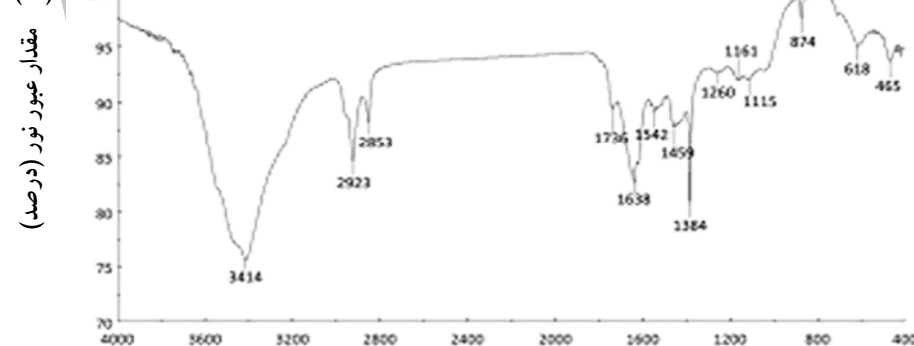
(ب)



(پ)



(ت)



شماره موج (بر سانتی‌متر)

شکل ۴- طیف نورسنجی مادون قرمز برای الف- زی توده سندسموس، ب- کلرلا، پ- سندسموس با مالاشیت گرین جذب شده و ت- کلرلا با مالاشیت گرین جذب شده

آزمایش‌هایی برای جذب مالاشیت گرین توسط مخمر نان زنده ساکاروماسیس سرویسیه<sup>۱</sup> نیز انجام شده است [۴۰]. در طول آزمایش جذب، پس از گذشت ۷ ساعت از تماس مالاشیت گرین با مخمر نان، مقدار ۸۵ درصد از مقدار اولیه رنگ جذب شد و این در حالی بود که وقتی به محلول رنگی حاوی مخمر نان، ۵ درصد گلوكز اضافه شد، راندمان حذف مالاشیت گرین به مقدار قابل ملاحظه‌ای افزایش یافت و به ۹۵/۵ درصد رسید. همچنین نتایج این آزمایش نشان داد که جذب مالاشیت گرین از محلول آبی تابع پارامترهای مختلفی چون غلظت اولیه رنگ، غلظت سلول‌های مخمر نان، ترکیب شیمیایی محلول حاوی سلول‌های زنده مخمر و سرعت همزدن مخلوط واکنش است [۴۰].

در مطالعه دیگر، جذب زیستی مالاشیت گرین با زی توده گیاه آبزی غوطه‌ور هیدریلا ورتیکیلتا<sup>۲</sup> بررسی شده است [۴۱]. تأثیر پارامترهای مختلفی چون دما، مقدار زی توده، زمان تماس و اندازه ذرات بیومس و سرعت همزدن مخلوط واکنش، بر روی ظرفیت جذب زیستی مالاشیت گرین با استفاده از طرح آزمایش رویه‌های پاسخ بررسی شد. نتایج آنالیز واریانس داده‌ها نشان داد که مدل پیشنهادی درجه دوم به خوبی می‌تواند نتایج آزمایش را تفسیر کند. بر اساس مدل پیشنهادی شرایط بهینه پارامترهای آزمایش به دست آمدند. بنابراین بهترین سطوح متغیرهای اصلی، شامل دما ۴۳/۵ درجه سلسیوس، مقدار گیاه ۲۶/۰ گرم، اندازه ذره بیومس ۰/۲۰۵ میلی‌متر، زمان تعادل واکنش ۲۰۰ دقیقه و سرعت همزدن دور در دقیقه بودند. علاوه بر این، مقدار حداقل جذب سطحی مالاشیت گرین در pH بهینه ۸ برابر با ۹۱/۹۷ میلی‌گرم مالاشیت گرین بر حسب گرم گیاه آبزی به دست آمد [۴۱].

برای جذب رنگ مالاشیت گرین از پساب‌های صنعتی، از پر مرغ نیز استفاده شده است [۴۲]. مطالعات جذب سطحی در دماهای مختلف ۳۰، ۴۰ و ۵۰ سلسیوس و تحت تأثیر pH اولیه، مقدار جاذب، زمان تماس، غلظت رنگ و غیره انجام گرفت. pH اولیه بهینه محلول رنگی مقدار ۵ به دست آمد و بقیه آزمایش‌ها در این pH انجام شد. بر اساس داده‌های آزمایش، مدل سینتیک در غلظت پایین رنگ توسط مدل انتشار فیلم و در غلظت‌های بالای رنگ، توسط مدل انتشار داخل ذره‌ای به خوبی توصیف می‌شود. حداقل جذب مالاشیت گرین توسط پر مرغ در این آزمایش‌ها مقدار ۵ مول بر گرم بر اساس ایزوترم لانگمیر و در دمای ۵۰ درجه سلسیوس به دست آمد [۴۲].

برای جذب زیستی رنگ مالاشیت گرین، آزمایش‌هایی با

مقایسه طیف FT-IR بین زی توده‌های جلبکی خالص با نوع آزمایش شده، تفاوت و تغییرات چشمگیری را نشان داد (شکل ۴-۳). جابه‌جایی پیک در طیف مادون قرمز از ۳۴۳۳ تا ۳۴۱۴ بر سانتی‌متر به ۳۴۱۴ بر سانتی‌متر نشان دهنده اتصال مالاشیت گرین با گروه‌های عاملی هیدروکسیل و آمین است. ناپدید شدن پیک‌های ۲۹۵۶ و ۲۹۵۸ بر سانتی‌متر، بیانگر درگیری این مناطق طی فرایند جذب زیستی است. دو پیک ۱۷۴۱ بر سانتی‌متر برای سندسموس و پیک ۱۷۲۲ بر سانتی‌متر برای کلرلا در طیف‌های پس از واکنش جذب پدید آمدند که به نحوی نشان دهنده انباستگی زی توده از مالاشیت گرین است. جابه‌جایی پیک از ۱۶۳۲ بر سانتی‌متر به ۱۶۳۸ بر سانتی‌متر در سندسموس، ۱۶۳۸ بر سانتی‌متر به ۱۶۱۸ بر سانتی‌متر در کلرلا بیانگر درگیری بالای گروه کربوکسیل در جذب کاتیون‌های مالاشیت گرین است. پیک‌های ۱۰۵۲ تا ۱۰۵۲ بر سانتی‌متر پس از جذب ناپدید شد. همچنین پیک‌های مشاهده شده در زیر ۱۰۰۰ بر سانتی‌متر نیز تغییرات زیادی را نشان دادند که نشانگر درگیری کاتیون‌های مالاشیت گرین با پیوندهای شیمیایی حاوی نیتروژن در پلیمرهای زیستی است [۳۸].

نتایج نشان داد که گروه‌های عاملی مختلفی، در سطح زی توده ریزجلبک سبز سندسموس و کلرلا قرار دارند که در فرایند جذب زیستی مالاشیت گرین و برقراری اتصالات یونی جاذب-آلینده از اهمیت بالایی برخوردارند. علاوه بر این، تفاوت مشاهده شده در راندمان‌های جذب زیستی مالاشیت گرین بین دو ریزجلبک، می‌تواند به خاطر تفاوت در نحوه تداخل مولکول‌های رنگی و زی توده‌های جلبکی باشد.

آزمایش‌های جذب زیستی مالاشیت گرین با استفاده از گیاه آبزی علف تمساح، تأثیر پارامترهای فرایند از قبیل pH اولیه محلول، زمان تعادل، مقدار گیاه آبزی و قدرت یونی بر روی توانایی جذب مالاشیت گرین ارزیابی شد [۳۹]. نتایج نشان دادند که فرایند جذب زیستی مالاشیت گرین توسط گیاه آبزی علف تمساح به شدت وابسته به pH اولیه محلول حاوی مالاشیت گرین است و در مقدار pH اولیه ۶ بیشترین مقدار جذب را نشان داد. جذب سطحی مالاشیت گرین توسط بیومس علف تمساح با دو اندازه مختلف، از زی توده علف تمساح و به صورت پودر شده در زمان ۲۴۰ دقیقه به تعادل نهایی رسید. علاوه بر آن، مدل انتشار داخل ذره‌ای نیز نقش مهمی در فرایند جذب مالاشیت گرین نشان می‌دهد و از عوامل کنترل کننده سرعت واکنش جذب محسوب می‌شود. گیاه علف تمساح خشک شده در دمای ۲۰ درجه سلسیوس و سایر شرایط بهینه محیطی، ظرفیت جذب زیستی ۱۸۵/۵۴ میلی‌گرم مالاشیت گرین بر گرم جاذب را به دست آورد [۳۹].

<sup>1</sup> *Saccharomyces cerevisiae* MTCC 463  
<sup>2</sup> *Hydrilla verticillata*

لیتر، طی مدت ۲۰ دقیقه به تعادل رسید. زمان تعادل برای غلظت ۲۰۰ میلی گرم در لیتر مالاشیت گرین در دماهای ۲۵ و ۴۰ درجه سلسیوس ۲۰ دقیقه و دمای ۵۰ درجه سلسیوس، مقدار ۴۰ دقیقه به دست آمد. مدل سینتیک شبه درجه دوم به طور کامل توانست داده های آزمایش را توصیف کند. بیشترین مقدار جذب مالاشیت گرین در دمای ۴۰ و ۵۰ درجه سلسیوس در pH طبیعی رنگ و غلظت رنگی ۱۰۰ تا ۴۰۰ میلی گرم مالاشیت گرین در لیتر محلول، ۲۰۰ میلی گرم بر گرم به دست آمد [۴۵].

#### ۴- نتیجه گیری

در مطالعه حاضر پتانسیل دو گونه ریز جلبک سبز سندسموس و کلرلا ارزیابی شد. اعتبار و دقت مدل کوادراتیک با ضریب تعیین بالا ( $>0.99$ )، مقدار P-value معنی دار مدل به اثبات رسید. حداقل راندمان جذب زیستی برای جلبک های سندسموس و کلرلا ۹۱/۳۲ و ۷۳/۲۳ درصد محاسبه شد. بهترین مدل سینتیک جذب زیستی مالاشیت گرین، توسط جلبک های سندسموس و کلرلا مدل شبه درجه دوم تعیین شد. طبق نتایج به دست آمده، بخش عمده جذب در ۳۰ دقیقه نخست برای سندسموس و ۶۰ دقیقه اول برای کلرلا رخ داد که از نظر کاربردی مهم است. بررسی نورسنجدی مادون قرمز سطح زی توده جلبک های سبز سندسموس و کلرلا قبل و بعد آزمایش جذب مالاشیت گرین به خوبی نشان داد که گروه های عاملی مختلفی چون هیدروکسیل، کربوکسیل، آمین و غیره روی سطح جاذب قرار دارد. همچنین وجود ساختار لیگنین در دیواره سلولی نشان داده شد. طبق مقایسه های قبل و بعد آزمایش گروه مالاشیت گرین توسط زی توده های جلبکی سندسموس و کلرلا نشان داد. همچنین بررسی مقایسه قبل و بعد آزمایش جذب زیستی مالاشیت گرین نشان داد که بین سندسموس و کلرلا در راندمان جذب مالاشیت گرین تفاوت وجود دارد که می تواند به خاطر میزان در گیری بیشتر گروه های کربوکسیل واقع در روی کلرلا نسبت به سندسموس باشد.

#### ۵- قدردانی

نویسندها این مقاله از معاونت پژوهشی دانشکده منابع طبیعی و معاونت پژوهشی و تحصیلات تکمیلی دانشگاه صنعتی اصفهان که موجبات انجام این پژوهش را فراهم نمودند، کمال سپاسگزاری را می نمایند.

استفاده از خاک اره/یندیکا<sup>۳</sup> در محلول آبی انجام شده است [۴۳]. مطالعات جذب تحت شرایط آزمایشی مختلف همچون زمان همزدن، غلظت رنگ، مقدار خاک اره، pH محلول و دما برای ارزیابی پتانسیل خاک اره/یندیکا به منظور جذب مالاشیت گرین از پساب ها بررسی شد. همواره در آزمایش های جذب، راندمان جذب مالاشیت گرین با افزایش مقدار جاذب و کاهش مقدار غلظت اولیه مالاشیت گرین باعث افزایش مقدار جذب زیستی این ماده شیمیایی می شود. جذب رنگ مالاشیت گرین بر روی خاک اره گیاه/یندیکا طی یک شیب غلطی از محلول رنگی به سوی سطح جاذب همواره تعیت می کند. حداقل جذب تک لایه ای مالاشیت گرین توسط جاذب پس از گذشت ۱۴ دقیقه و pH محلول ۷/۲ و دمای واکنش ۳۰ درجه سلسیوس، ۴/۳۵ میلی گرم مالاشیت گرین بر گرم خاک اره/یندیکا محاسبه شد. همچنین نتایج نشان داد که این آزمایش به طور طبیعی انجام پذیر است [۴۳].

آزمایش هایی برای حذف مالاشیت گرین از محلول های آبی با استفاده از کربن فعال حاصل از ریشه گیاه آروندا دوناکس<sup>۴</sup> (ADRC) انجام شده است [۴۴]. در این آزمایش ها پارامتر های مختلفی همچون pH محلول به میزان ۳ تا ۱۰، مقدار کربن ۱۵/۰ تا ۱/۰ گرم در ۱۰۰ میلی لیتر محلول، غلظت مالاشیت گرین اولیه ۱۰ تا ۱۰۰ میلی گرم در لیتر، بر روی جذب سطحی مالاشیت گرین تأثیر گذاشتند. مقدار pH مؤثر بین ۵ تا ۷ به دست آمد و مقدار بهینه دز جاذب ADRC، ۰/۶ گرم در ۱۰۰ میلی لیتر از محلول رنگی به دست آمد. زمان تعادل واکنش جذب سطحی مالاشیت گرین، در این بررسی ۱۸۰ دقیقه به دست آمد. در شرایط بهینه آزمایش و دمای ۴۰ درجه سلسیوس، حداقل ظرفیت جذب زیستی مالاشیت گرین به صورت تک لایه ای ۸/۶۹ میلی گرم بر گرم به دست آمد. نتایج به دست آمده نشان داد که واکنش جذب مالاشیت گرین بر روی سطح جاذب از مدل سینتیک شبه درجه دوم پیروی می کند [۴۴].

همچنین از کربن فعال تهیه شده از لیگنیت و فعال سازی شده با باز پتانسیل برای حذف رنگ بازی مالاشیت گرین استفاده شده است [۴۵]. تأثیر پارامتر های مختلفی همچون غلظت اولیه ۱۰۰، ۱۵۰ و ۲۰۰ میلی گرم در لیتر و حرارت ۴۰، ۲۵ و ۵۰ درجه سلسیوس ارزیابی شدند. فرایند جذب بسیار سریع بود و در تمام دماهای آزمایش شده برای غلظت های ۱۰۰ و ۱۵۰ میلی گرم در

<sup>3</sup> *Azadirachta indica*

<sup>4</sup> *Arundo donax*

#### ۶- مراجع

1. Gupta, V.K., and Suhas, S. (2009). "Application of low-cost adsorbents for dye removal a review." *J. of Environment Management*, 90, 2313-2342.

2. Culp, S.J., and Beland, F.A. (1996). "Malachite green: A toxicological review." *J. of American College Toxicology*, 15, 219-238.
3. Cheng, R., Jiang, Z., Ou, S., Li, Y., and Xiang, B. (2009). "Investigation of acid black 1 adsorption onto amino-polysaccharides." *J. of Polymer Bulletin*, 62, 69-77.
4. Srivastava, S., Sinha, R., and Roy, D. (2004). "Toxicological effects of malachite green." *J. of Aquatic Toxicology*, 66, 319-329.
5. Parshetti, G., Kalme, S., Sartale, G., and Govindwar, S. (2006). "Biodegradation of malachite green by *Kocuria rosea* MTCC 1532." *J. of Acta Chimica Slovenica*, 53, 492-498.
6. Kaushik, P., and Malik, A. (2009). "Fungal dye decolourization: recent advances and further potential." *J. of Environment International*, 35, 127-141.
7. Forgacs, E., Cserhati, T., and Oros, G. (2004). "Removal of synthetic dyes from wastewaters: A review." *J. of Environment International*, 30, 953-971.
8. Mondal, S. (2008). "Methods of dye removal from dye house effluent an overview." *J. of Environmental Engineering Sciences*, 25, 383-396.
9. 9- Ertugrul, S., Sam, N.O., and Donmez, G. (2009). "Treatment of dye (Remazol Blue) and heavy metals using yeast cells with the purpose of managing polluted textile wastewaters." *J. of Ecological Engineering*, 35, 128-134.
10. Volesky, B., and Holan, Z.R. (1995). "Biosorption of Heavy Metals." *J. of Biotechnology Progress*, 11, 235-250.
11. Aleboyeh, A., Kasiri, M.B., Olya, M.E., and Aleboyeh, H. (2008). "Prediction of azo dyedecolorization by UV/H<sub>2</sub>O<sub>2</sub> using artificial neural networks." *J. of Dyes and Pigments*, 77, 288-294.
12. Khataee, A.R. (2009). "Photocatalytic removal of C.I. basic red 46 on immobilized TiO<sub>2</sub> nanoparticles: Artificial neural networkmodeling." *J. of Environnmental Technology*, 30, 1155-1168.
13. Banat, I.M., Nigam, P., and Singh, D. (1996). "Microbial decolourization of textile-dyecontaining effluents: a review." *J. of Bioresource Technology*, 58, 217-227.
14. Daneshvar, N., Ayazloo, M., Khataee, A.R., and Pourhassan, M. (2007). "Biological decolorization of dye solution containing Malachite Green by microalgae *Cosmarium sp.*" *J. of Bioresource Technology*, 98, 1176-1182.
15. Tahir, S.S., and Rauf, N. (2006). "Removal of a cationic dye from aqueous solutions by adsorption onto bentonite clay." *J. of Chemosphere*, 63, 1842-1848.
16. Tunali, S., Akar, T., Özcan, A.S., Kiran, I., and Özcan, A. (2006). "Equilibrium and kinetics of biosorption of lead(II) from aqueous solutions by *Cephalosporium aphidicola*." *J. of Seperation and Purification Technology*, 47, 102-109.
17. Bellinger, E.G., and Siguee, D.C. (2010). *Freshwater algae identification and use as bioindicators*, John Wiley and Sons, Ltd., Pub., USA.
18. Kumar, K.V., Ramamurthi, V., and Sivanesan, S. (2006). "Biosorption of malachite a greencationic dye onto *Pithophora* sp., a fresh water algae." *J. of Dyes and Pigments*, 69, 74-79.
19. Jabasingh, S.A., and Pavithra, G. (2010). "Response surface spproach for the biosorption of Cr<sup>6+</sup> ions by *Mucor racemosus*." *J. of Clean*, 38, 492-499.
20. Moeini Feyzabadi, E. (2012). "Heavy metal removal from aqueous solution using algae biomass of *Scenedesmus quadricauda*." MSc Thesis, Isfahan University of Technology. (In Persian)
21. Shokri Khoubestani, R. (2013). "Chromium removal from aqueous solution using biomass of green microalgae, *Scenedesmus quadricauda*." MSc Thesis, Isfahan University of Technology. (In Persian)
22. Bekci, Z., Sekia, Y., and Cavas, L. (2009). "Removal of malachite green by using an invasive marine algae *Caulerpa racemosa* var. *clyndracea*." *J. of Hazardous Materials*, 161, 1454-1460.
23. Tsai, W.T., and Chen, H.R. (2010). "Removal of malachite green from aqueous solution using low-cost chlorella-based biomass." *J. of Hazardous Materials*, 175, 844-849.
24. Heidari, S. (2009). "Cultivation and growth of *Scenedesmus quadricauda* at different concentrations of nitrogen for application in aquaculture and wastewater treatment." MSc Thesis, Isfahan University of Technology. (In Persian)

25. Singh, R., Chadetrik, R., Kumar, R., Bishnoi, K., Bhatia, D., Kumar, A., Bishnoi, and Singh, N. (2010). "Biosorption optimization of lead (II), cadmium(II) and copper(II) using response surface methodology and applicability in isotherms and thermodynamics modeling." *J. of Hazardous Materials*, 174, 623-634.
26. Lagergren, S. (1898). "Zur theorie der sogenannten adsorption geloster stoffe, Kungliga Sevenska Vetenskapsakademiens." *Handlingar* 24, 1-39.
27. Ho, Y.S., and McKay, G. (1999). "Pseudo-second order model for sorption processes." *J. of Process Biochemistry*, 34, 451-465.
28. Weber, W.J., and Morris, J.C. (1963). "Kinetics of adsorption on carbon from solution." *J. of Sanitary Engineering.* *J. of Div.*, 89, 31-59.
29. Zarei, M., Salari, D., Niaezi, A., and Khataee, A.R. (2010). "Application of response surface methodology for optimization of peroxy-coagulation of textile dye solution using carbon nanotube-PTFE cathode." *J. of Hazardous Materials*, 173, 544-551.
30. Bezerra, M.A. (2008). "Response surface methodology (RSM) as a tool for optimization in analytical chemistry." *J. of Talanta*, 76, 965 - 977.
31. Santos, S.C.R., and Boaventura, R.A.R. (2008). "Adsorption modelling of textile dyes by sepiolite." *J. of Applied Clay Science*, 42, 137-145.
32. Donmez, G.C., Aksu, Z., Ozturk, A., and Kutsal, T. (1999). "A comparative study on heavy metal biosorption characteristics of some algae." *J. of Process Biochemistry*, 34, 885-892.
33. Goldacre, R.J., and Philips, J.N. (1949). "The ionization of basic triphenylmethane dyes." *J. of the Chemical Society*, 11, 1724-1732.
34. Crini, G., Peindy, H.N., Gimbert, F., and Robert, C. (2007). "Removal of C.I. Basic Green 4 (malachite green) from aqueous solutions by adsorption using cyclodextrin -based adsorbent: kinetic and equilibrium studies." *J. of Separation and Purification Technology*, 53, 97-110.
35. Mehta, S.K., and Gaur, J.P. (2005). "Use of algae for removing heavy metal ions from wastewater: Progress and prospects." *J. of Critical Reviews in Biotechnology*, 25, 113-152.
36. Selatnia, A., Boukazoula, A., Kechid, N., Bakhti, M.Z., and Chergui, A. (2004). "Biosorption of Fe<sup>3+</sup> from aqueous solution by a bacterial dead *Streptomyces rimosus* biomass." *J. of Process Biochemistry*, 39, 1643-1651.
37. Nadeem, R., Ansari, T.M., and Khalid, A.M. (2008). "Fourier transform Infrared spectroscopic characterization and optimization of Pb(II) biosorption by fish (*Labeo rohita*) scales." *J. of Hazardous Materials*, 156, 64-73.
38. Akar, T., and Tunali, S. (2005). "Biosorption performance of *Botrytis cinerea* fungal byproducts for removal of Cd(II) and Cu(II) ions from aqueous solutions." *J. of Minerals Engineering*, 18, 1099-1109.
39. Wang, X.S. (2010). "Invasive freshwater macrophyte alligator weed: Novel adsorbent for removal of malachite green from aqueous solution." *J. of Water, Air and Soil Pollution*, 206, 215-223.
40. Jadhav, J.P., and Govindwar, S.P. (2006). "Biotransformation of malachite green by *Saccharomyces cerevisiae* MTCC 463." *J. of Yeast*, 23, 315-323.
41. Rajeshkannan, R., Rajasimman, M., and Rajamohan, N. (2010). "Removal of malachite green from aqueous solution using *Hydrilla verticillata*: Optimization, equilibrium and kinetic studies." *Int. J. of Civil Environment Engineering*, 2, 222-229.
42. Mittal, A. (2006). "Adsorption kinetics of removal of a toxic dye, malachite green, from wastewater by using hen feathers." *J. of Hazardous Materials*, 133, 196-202.
43. Khattri, S.D., and Singh, M.K. (2009). "Removal of malachite green from dye wastewater using neem sawdust by adsorption." *J. of Hazardous Materials*, 167, 1089-1094.
44. Zhang, J., Li, Y., Zhang, C., and Jing, Y. (2008). "Adsorption of malachite green from aqueous solution onto carbon prepared from Arundo donax root." *J. of Hazardous Materials*, 150, 774-782.
45. Onal, Y., and Sancr-Ozdernir, C. (2007). "Investigation kinetics mechanisms of adsorption malachite green onto activated carbon." *J. of Hazardous Materials*, 146, 194-203.